

# トータルドライレジストプロセスの展望

服 部 秀 三

名古屋大学工学部電子機械工学科 〒464 名古屋市千種区不老町

(1984年11月10日受理)

## A Review of Total Dry Resist Process

Shuzo HATTORI

Nagoya University Department of Electronic  
Mechanical Engineering

(Received November 10, 1984)

A progress of total dry resist process for e-beam lithography using plasma polymerization for resist casting and plasma etching for development, mostly by our group, is reviewed. i) Use of flow type reactor, ii) copolymerization of e-beam sensitive monomer with etch-resistive monomer, iii) sensitization by high-z atom, and iv) use of hydrogen plasma for development gave rise to a great extent of e-beam sensitivity which finally reached to  $5 \mu\text{C}/\text{cm}^2$ . A modeling study of dry development have shown a linear dependence of logalithmic film thickness change to the logalithmic scission fraction per monomer unit,  $\lambda$ . A 0.15 of  $\lambda$  is found to be necessary which figure will explain observed decrease of e-beam sensitivity by dry development from that by wet development. Several way to improve dry development process and also dry developable X-ray resin is discussed on the basis of knowleges so far obtained.

### 1. はじめに

VLSI の集積度が増し、基準線巾が小さくなるに従って、プロセス信頼度を保つために、プロセスのドライ化、プロセスの低温化、平坦構造のためのプロセスなどプロセス技術の高度化が必要となる。プロセスのドライ化は、ドライエッ칭、イオン注入が標準のプロセスとなるに及んでプロセス全体がドライ化できると考えられ、一部の洗滌プロセスやリソグラフィープロセス（レジストプロセス）が取残された形となった。

Table 1 はリソグラフィープロセスのドライ化の歴史の要約である。著者等は、レジスト成膜プロセスにプラズマ重合を用いることによってトータルドライレジストプロセスの完成を目指し、手始めにマスクプロセスのトータルドライ化のために Fig. 1 の装置を試作して研究を開始した。Table 2 はドライプロセスとウェットプロセスの功罪をレジストプロセスを中心に比較したものである。マスクプロセスに関しては、トータルドライレジストプロセスの研究はほぼ目標を達したかに思われ

る。しかし乍ら、此の研究は電子線リソグラフィーに限られたため、現在では特殊な場合を除いて、そのままウエハプロセスに適用されることはないと考えられる。何故ならば、研究開始当初の予想に反して、電子線リソグラフィーは、描画データ転送速度を高くすることが高価な技術となるため設備経費 1 億円当りのスループットが経済的 requirement を満す程度まで上らないことが明らかになったからである。

ウエハ用のリソグラフィープロセスのドライ化は、今後ホトリソグラフィー或いは X 線リソグラフィーを目標として進められることになるであろうが、本稿ではこれまでの電子線リソグラフィーのドライ化に関する研究のあとを振り返って、その中で、ホトリソグラフィー或いは X 線リソグラフィープロセスのドライ化についての手掛りを求めるところとする。

### 2. プラズマ重合電子線レジストの感度

Table 3 は著者等の研究室で試みられた主なプラズマ重合電子線レジストの感度の一覧表である。

Table 1 Histrical review of all dry resist process.

| Transfer  | Develop   | Casting   |
|---|---|---|
| 1975 SiO <sub>2</sub><br>R. A. H. Heinecke<br>Solid-State Electr. 18, 1164  | 1974 Self develop. p (ol. SO <sub>2</sub> )<br>M. J. Boden et. al.<br>Polym. E. S. 14, 525            |   |
| 1979 Comp. Etch. Resistivity<br>S. Imamura<br>J. Electrochem SSST 126, 1628 | 1978 Thermal dev. P( $\alpha$ CNEtAcr)<br>T. Asano et. al.<br>Proc. Tokyo Sym. P-E-Jm, 241            |   |
|   | 1979 PDV UV<br>J. N. Smith et. al.<br>Semicon. Intl. 2, 41  |   |
|   | 1979 CCD Process UV<br>T. C. Penn<br>IEEE Trans ED 26, 640  |   |
|   | 1980 Plasma dev. X-ray PDPA-NVC<br>G. N. Taylor et. al.<br>J. Electrochem. SSST 128, 2665             | 1980 PPMMA CCl <sub>4</sub> Pl Cr<br>S. Morita et. al.<br>J. Appl Phys 51, 3938       |
|   | 1981 Th. p(O <sub>2</sub> ) PMAN SiO <sub>2</sub> /Si<br>H. Hiraoka<br>J. Electrochem. SSST 128, 1065 | 1981 PPMMA (Fl) Ar-O <sub>2</sub> Pl<br>J. Tamano et. al.<br>P. Chem. P. Proc. 1, 261 |

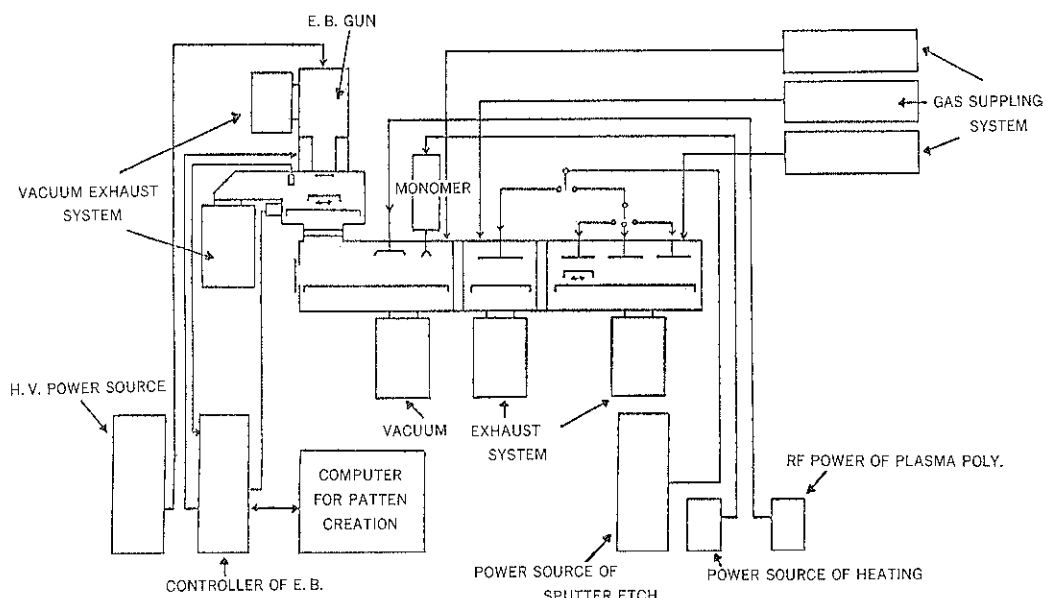


Fig. 1 A super precision vacuum lithography apparatus.

Table 2 Merits &amp; demerits of dry process.

| General              | Transfer            | Develop                          | Coating                           |
|----------------------|---------------------|----------------------------------|-----------------------------------|
| Reduce Utility       | Directional Etching | Avoid Swelling                   | Fast R & D                        |
| Environmental Safety |                     |                                  | Handy for Process Engineers       |
| Controllability      |                     |                                  | Feasibility for Complex Structure |
| Expensive Instrument |                     | Less Sensitive<br>Less Selective |                                   |

Table 3 Sensitivity improvement of plasma-polymerized e-b resist.

| Types of Reactor | Monomer        | Polymerization Plasma | Developing Plasma | Sensitivity      |
|------------------|----------------|-----------------------|-------------------|------------------|
| Parallel Plate   | MMA            | MMA                   | CCl <sub>4</sub>  | >10 <sup>4</sup> |
| Flow             | MMA            | Ar                    | Ar+O <sub>2</sub> | 10 <sup>3</sup>  |
| Flow             | MMA+Sty        | Ar                    | Ar+O <sub>2</sub> | 10 <sup>2</sup>  |
| Flow             | MMA+TMT        | Ar                    | Ar+O <sub>2</sub> | 20               |
| Flow             | 6 FBMA+Sty     | Ar                    | H <sub>2</sub>    | 10 <sup>2</sup>  |
| Flow             | 6 FBMA+Sty+TMT | Ar                    | H <sub>2</sub>    | 5                |

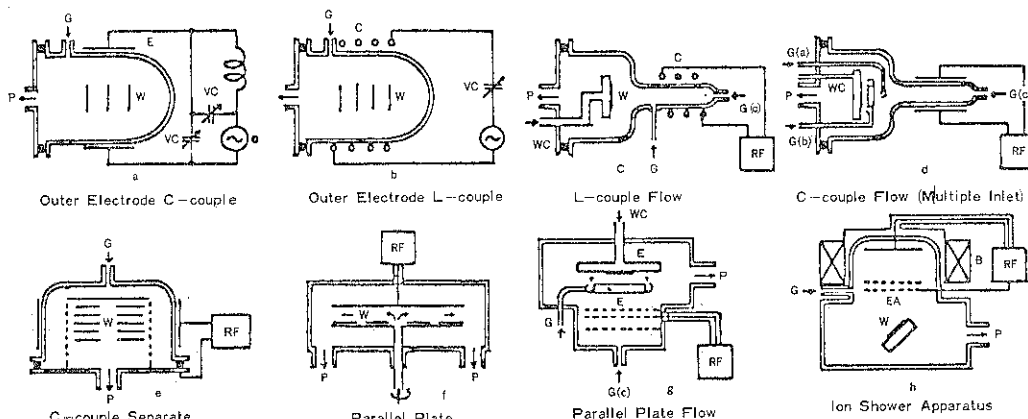


Fig. 2 Various RF plasma reactors

a : Outer electrode C-couple ; b : Outer electrode L-couple ; c : C-couple flow ; d : C-couple flow (multiple inlet) ; e : C-couple separate ; f : Parallel plate reactor ; g : Parallel plate flow ; h : Ion shower apparatus

P : Pump ; W : Water ; G : Gas inlet ; E : Electrode ; WC : Cooling water ; B : B Field ; RF : RF power supply ; EA : Accelerating E ; G(a) : Monomer gas inlet ; G(c) : Carrier gas inlet

表に見られるような 10<sup>3</sup> 以上の感度の改善は、i) 反応装置を平行平板型からフロー型に変更した。ii) 電子線感度の高い高分子とプラズマエッチ耐性の高い高分子との共重合、iii) 原子量の大きい金属原子を混入することによる増感、iv) Ar+O<sub>2</sub> プラズマから H<sub>2</sub> プラズマに現像プロセスを変更した、という 4 つの効果によって達成された。

平行平板型とフロー型の反応装置は、Fig. 2 の f と c にそれぞれ示されるような装置で、平行平板型に於ては基板がプラズマ中に浸漬されていて原料モノマーがプラズマ平中で分解され易く、又基板上に成長した重合膜はイオンの衝撃によって架橋の程度を増すのに比して、

Table 4 Method of preparation polymer character condition resist property.

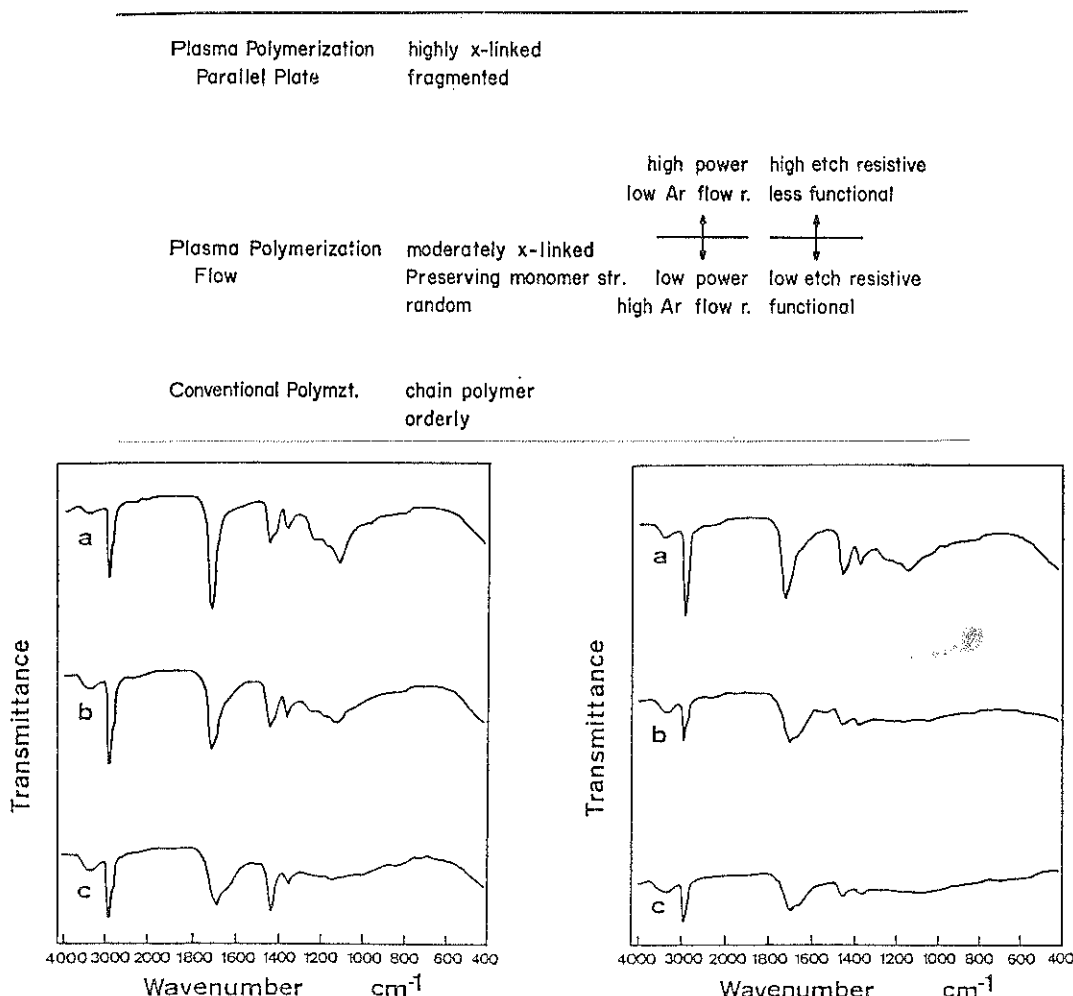


Fig. 3 The dependence of IR absorption spectra on the gas flow rate of argon at 0.7 Torr and 10 watts: (a) 77 cm<sup>3</sup> STP/min, (b) 63 cm<sup>3</sup> STP/min, and (c) 42 cm<sup>3</sup> STP/min.

Fig. 4 The dependence of IR absorption spectra on the discharge power at 0.7 Torr, 63 cm<sup>3</sup> STP/min (ar) and 6.3 cm<sup>3</sup> STP/min (MMA): (a) 10 watts, (b) 20 watts, and (c) 30 watts.

フロー型に於ては、プラズマは主としてキャリヤガスの励起種を生成するのに用いられて、プラズマ領域の下流に流入するモノマーの大部分はそのまま基板に達し、キャリヤガスの励起種によって作られた励起中間生成物と共に基板上で重合するので、重合膜は原料をモノマーの形状を保存した高分子から成り、架橋も中程度である。

反応装置と重合条件による生成重合膜の性質の差は Table 4 にまとめられている。同じフロー型反応装置を用いても、キャリヤガス流量が小さいか電力密度が高いほど重合膜の性質は平行平板型装置による重合膜のそれに近く、その反対の重合条件では重合膜の性質は通常の方法で重合された高分子のそれに近くなる。

Fig. 3 及び Fig. 4 は、キャリヤガス流量を変えたとき及び電力をえたときのプラズマ重合 MMA の赤外スペクトルであって上述の事情を示している。

重原子による増感は、TMT (四メチル錫) の共重合によって行われた。5% (モル) の TMT は顕著な電子線感度の向上をもたらす。錫を高分子中に取入れることは、合成技術の上で必ずしも容易ではないのだが、プラズマ重合に於ては原料モノマー気体中に TMT の気体を混入するだけで実に容易に実現する。

共重合の効果、水素プラズマエッチの効果についてはその理由は明確ではないが、エッティング現象の機構に関係しているので、次章に触れることにする。

### 3. ドライ現像の機構

前章に述べたように、プラズマ重合成膜プラズマエッチ現像電子線レジストは十分な感度を与えることがわかったが、プラズマエッチ現像は電子線レジストの解像力の低下をもたらすことがわかって来たので、その理由をつきとめるための研究が行われた。

#### 3.1 ドライ現像のモデル考察

i) 直鎖高分子に対して、1モノマー単位当たり $\lambda$ の確率でランダムな主鎖切断が生じ、ガウス型初期分子量分布を出発点として分子量分布の変化を計算する。ii) 蒸気圧が $p_0$ 以上になる低分子はすべて気化して膜外に去ることによって規格化(体積)膜減り $V(\lambda)$ が定まる。という仮定で電子線による自己現像特性を計算してみた。図5は $\lambda$ の増加に伴う分子量分布の変化を示す。分子量分子はモノマー単位で測った長さ $n$ の関数として

$$N(n, \lambda) = e^{-n\lambda} N(n, 0) + e^{-n\lambda} \int_n^{\infty} N(n', 0) dn' \quad (1)$$

で与えられる。 $\lambda$ は電子線ドーズ $D$ から

$$\lambda = \frac{M_0}{\bar{M}_r} = M_0 \frac{E G_s D}{100 g z \rho A} \quad (2)$$

の如く求められる。 $E$ は電子当り吸収エネルギー(eV)  
 $G_s$ は吸収エネルギー100eV当り切断確率、 $z\rho$ は平方cm当りの膜重量、 $M_0$ はモノマー分子量 $\bar{M}_r$ は数平均分子量、 $A$ はアボガドロ数である。 $V(\lambda) = 1 - (\text{残膜率})$ は、蒸気圧 $p_v$ を与える分子を $n_v$ オリゴマーとして

$$V(\lambda) = n_v \int_0^{n_v} n \cdot N(n, \lambda) dn \quad (3)$$

から求められる。 $p_v$ は $n$ の関数として経験式

$$p_v = B T^{1/2} \exp \{1 - (1.5)^{\log_2 n_v} E / (kT)\} \quad (4)$$

で与えられるが、MMAオリゴマーについては、 $B = 2.1 \times 10^{11}$  (dynes cm<sup>-2</sup> K<sup>-1/2</sup>)、 $E = 7.3 \times 10^{-13}$  (ergs mol<sup>-1</sup>)を用いた。

MMAに対する計算の結果はFig. 5のごとに曲線を与える。 $p_v$ としては1mTorrを用いた。Fig. 6をみると電子線自己現像特性は

$$V(\lambda) = c \cdot \lambda^\alpha \quad (5)$$

で良く近似されることがわかる。 $\alpha$ はMMAについては1.2.3が得られた。式(5)は溶液現像の溶解度 $R$ を与える式

$$R = R_0 + \beta(\lambda/M_0)^\alpha \quad (6)$$

ときめて良く似ている。但し溶液現像の場合は $\alpha$ が高分子の構造(時に側鎖)と溶媒との組み合せによって変るのでに対して、電子線自己現像の場合は一定値である。又、溶液現像の場合 $\lambda = 0.015$ 付近でMMAについては分子量6000で $R_0 > \beta(\lambda/M_0)$ となって現像可能に

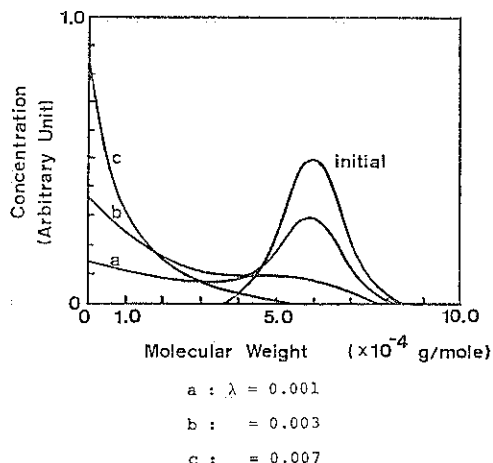


Fig. 5 Change of number average molecular weight distribution function for various random scission fraction, starting from Gaussian initial distribution.

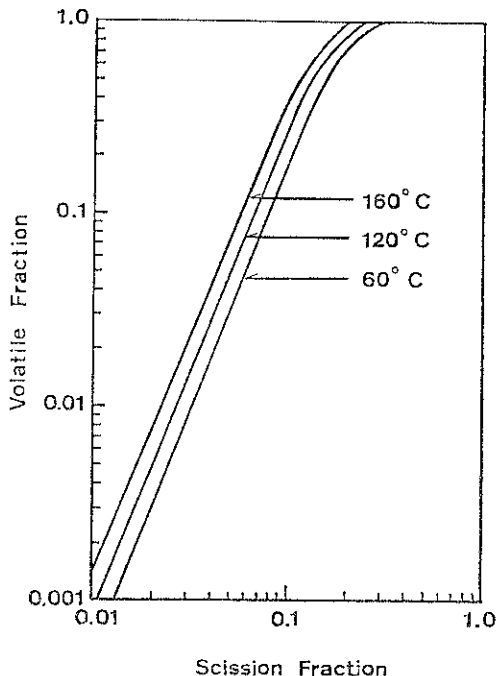


Fig. 6 Dependence of volatile fraction of polymer layer on random scission fraction.

なるのの比べて、電子線自己現像では $\lambda = 0.15$ (6-オリゴマー)になって始めて現像可能となる。

#### 3.2 実験との比較

Fig. 7は、PMMAについての電子線自己現像特性が、(図中○)式(5)によってよく説明されることを示している。又Fig. 8は他のプラズマ重合電子線レジス

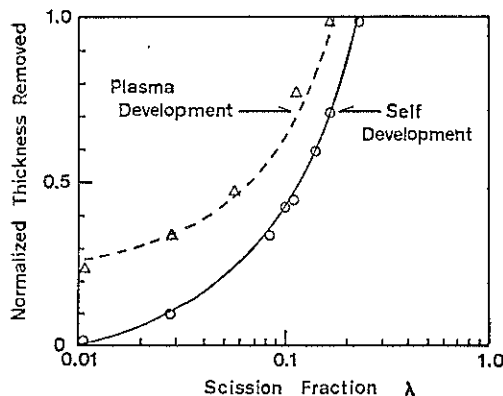


Fig. 7 Theoretical and experimental dry development characteristics, — Theoretical self development, ..... Theoretical plasma development, O Experimental self development, A Experimental plasma development.

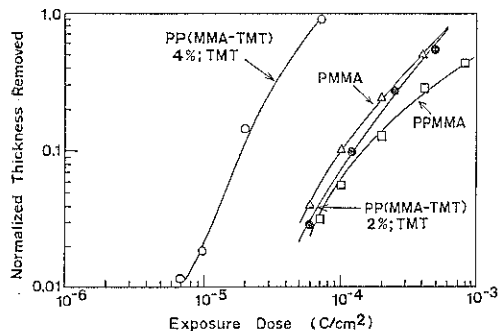


Fig. 8 Experimental self development characteristics.

トの自己現像特性を示すが、この特性を直線で近似すれば、やはり式(5)があつてはまる。

さらに興味あることは、PMMAについて電子線描画後プラズマエッチ現像した場合の現像特性(図中△)が、自己現像の場合と同じ $\alpha$ を用いて

$$V_d(\lambda) = C \cdot (\lambda + \lambda_d)^\alpha \quad (7)$$

で(図中破線)で良く説明されることである。(Fig. 7 の場合は $\lambda_d=0.05$ )このことは、プラズマエッチの効果が、電子線の効果と同質で主鎖の切断の程度を増すことになることを意味している。式(7)の関係を再度両対数グラフ上の直線で近似して

$$V_d(\lambda) = C(\lambda + \lambda_d)^\alpha \approx c/\lambda^A \quad (8)$$

とすると $A$ は $\alpha$ に比べて小さい数字となる。このことはプラズマエッチ現像が、低い解像力を与えることを説明している。云いかえれば、描画プロセスの効果と現像プロセスの効果が加算的である限り良い解像力を与えないことがわかる。

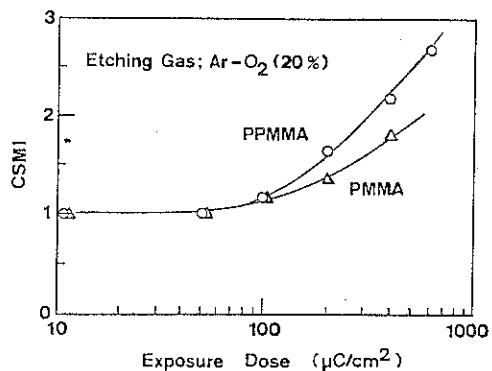


Fig. 9 Chemical structure modification index (CSMI) for plasma-polymerized methylmethacrylate (PPMMA) and poly methylmethacrylate (PMMA).

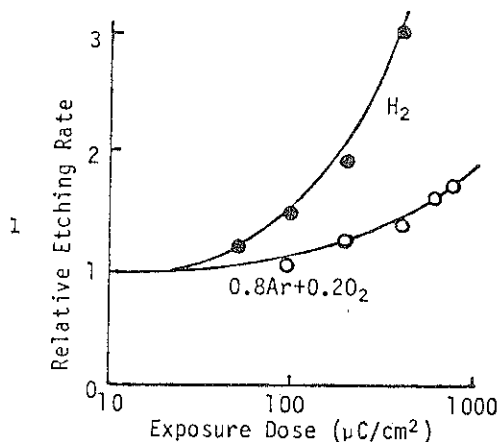


Fig. 10 Effect of plasma etching gas on the resist development.

実験で得られた現像効果と式(7)の与える現像効果の比を化学作用指数 CSMI と定義すると、

$$\text{CSMI} = \frac{c \{(\lambda + \lambda_d)^\alpha - \lambda^\alpha\}}{[V_d(\lambda)]_{\text{exp}} - c \lambda^\alpha} \quad (9)$$

CSMI は現像効果と電子線効果の加算性からの外れ、もしくは主鎖切断以外の電子線の化学変化の目安を与える。その一例はFig. 9のごとく、プラズマ重合 PMMA と通常の PMMA にあらわされる。

前章で実験事実に触れた、対エッチ性高分子と高電子線感度高分子の共重合の効果も、現像効果と電子線効果の加算性からの外れに關係して理解されねばならない。ステレンと 50% 共重合の MMA は未照射部分では PMMA の約 4 倍の耐プラズマエッチャ性を有する。所がこの共重合膜が PMMA の 7 分の 1 の電子線ドーズでプラズマエッチ現像されるということは、40 モノマー單

位程度の分子量まで電子線によって分子量が低下したときに、PMMA と同程度の対プラズマエッチ性まで下がることを意味する。一方 水素現像完了の  $\lambda_r = 0.15$  の 7 分の 1 の  $\lambda$  と未照射部を 25% 減膜するに必要な  $\lambda_p = 0.048$  の和  $\lambda + \lambda_p = 0.069$  では現像完了の 38% しか説明できない。

水素プラズマによる現像の効果についても同様のことと言える。**Fig. 10** は PMMA に対する水素プラズマのエッチ速度と 20% 酸素混入アルゴンプラズマのエッチ速度を比較したものである。水素プラズマに対しては、分子量変化が、(気化現像の分子量の 1 衍上の分子量で) エッチ速度に影響を及ぼすのである。

**Table 5** Plasma polymerization parameter of multiple layer film.

|   |               |               |               |                 |               |               |               |               |
|---|---------------|---------------|---------------|-----------------|---------------|---------------|---------------|---------------|
| Discharge frequency                     | 13.56 MHz     |               |               |                 |               |               |               |               |
| Discharge power                         | 20 W          |               |               |                 |               |               |               |               |
| Flow rate of Ar                         | 500 SCCM      |               |               |                 |               |               |               |               |
| Monomer ( $M_1$ )<br>(source ( $S_1$ )) | MMA           | MA            | MMA<br>+5%TMT | MMA<br>+5%TMT   | MMA           | MMA           | MMA           | MMA           |
| Flow rate (cc/min)                      | 200           | 300           | 100           | 100             | 200           | 200           | 200           | 200           |
| Gas pressure (Pa)                       | 13.3          | 16            | 13.3          | 13.3            | 14            | 14            | —             | —             |
| Discharge duration (min)                | 5             | 10            | 20            | 15              | 5             | 10            | —             | —             |
| Monomer ( $M_2$ )<br>(source ( $S_2$ )) | —             | —             | —             | —               | MA            | S             | S             | —             |
| Flow rate (cc/min)                      | —             | —             | —             | —               | 300           | 150           | 150           | —             |
| Gas pressure (Pa)                       | —             | —             | —             | —               | 16            | 13.3          | 17            | —             |
| Discharge duration (min)                | —             | —             | —             | —               | 5             | 5             | 6             | —             |
| Monomer ( $M_1$ )<br>(source ( $S_1$ )) | MMA<br>+5%TMT | MMA<br>+5%TMT | MMA<br>+50%S  | MMA<br>+10%MIPK | MMA<br>+5%TMT | MMA<br>+5%TMT | MMA<br>+5%TMT | MMA<br>+5%TMT |
| Flow rate (cc/min)                      | 100           | 100           | 100           | 100             | 100           | 100           | 100           | 100           |
| Gas pressure (Pa)                       | 13.3          | 13.3          | 13.3          | 13.3            | 13.3          | 13.3          | 13.3          | 13.3          |
| Discharge duration (min)                | 5             | 5             | 20            | 30              | 5             | 5             | 5             | 4             |
| Repeat cycle                            | 3             | 4             | 3             | 3               | 3             | 2             | 3             | —             |
| Film thickness (A)                      | 2500          | 4000          | 12000         | 6000            | 2500          | 5000          | 5000          | —             |

**Table 6** Plasma etching parameter and etching rate.

|                            |                                     |                                  |                            |                                     |                                  |                            |  |  |
|----------------------------|-------------------------------------|----------------------------------|----------------------------|-------------------------------------|----------------------------------|----------------------------|--|--|
| Discharge frequency        | 13.56 MHz                           |                                  |                            |                                     | 18.56 MHz                        |                            |  |  |
| Discharge power            | 50 W                                |                                  |                            |                                     | 50 W                             |                            |  |  |
| Etching gas                | Ar+40%O <sub>2</sub>                |                                  |                            |                                     | CCl <sub>4</sub>                 |                            |  |  |
| Gas pressure               | 13.3 Pa                             |                                  |                            |                                     | 13.3 Pa                          |                            |  |  |
| Plasma polymerization film | Dis-<br>charge<br>duration<br>(min) | Thick-<br>ness<br>removed<br>(A) | Etching<br>rate<br>(A/min) | Dis-<br>charge<br>duration<br>(min) | Thick-<br>ness<br>removed<br>(A) | Etching<br>rate<br>(A/min) |  |  |
| MMA                        | 3                                   | 2500                             | 830                        | 5                                   | 2500                             | 500                        |  |  |
| MA                         | 2                                   | 2000                             | 1000                       | 5                                   | 1000                             | 200                        |  |  |
| S                          | 10                                  | 4000                             | 400                        | 5                                   | 2000                             | 400                        |  |  |
| (MMA+5%TMT)                | 5                                   | 2000                             | 400                        | 5                                   | 1000                             | 200                        |  |  |
| (MMA+50%S)                 | 10                                  | 5000                             | 500                        | 10                                  | 2500                             | 250                        |  |  |
| MMA-(MMA+5%TMT)            | 5                                   | 2500                             | —                          | 5                                   | 1500                             | —                          |  |  |
| MA-(MMA+5%TMT)             | 8                                   | 3000                             | —                          | 10                                  | 1500                             | —                          |  |  |
| (MMA+5%TMT)-(MMA+50%S)     | 15                                  | 7000                             | —                          | 30                                  | 5500                             | —                          |  |  |
| (MMA+5%TMT)-(MMA+10%MIPK)  | 8                                   | 5000                             | —                          | 10                                  | 3000                             | —                          |  |  |
| MMA-MA-(MMA+5%TMT)         | 3                                   | 1500                             | —                          | 8                                   | 1500                             | —                          |  |  |
| MMA-S-(MMA+5%TMT)          | 3                                   | 1800                             | —                          | 10                                  | 2500                             | —                          |  |  |
| (MMA-S)                    | 4                                   | 2500                             | 630                        | 7                                   | 2000                             | 290                        |  |  |
| (MMA-S)-(MMA+5%TMT)        | 4                                   | 2500                             | —                          | 8                                   | 2000                             | —                          |  |  |
| Cr                         | —                                   | —                                | —                          | 10                                  | 700                              | 70                         |  |  |

#### 4. 現像機構に関する新しい試み

プラズマエッチ現像の効果がその本質に於て電子線の効果と加算的であることに基づく解像度の低下を回避する目的で、電子線の効果と異質のものを含む現像プロセスを求めて二つの試みがなされた。それらは未だ優れたレジストプロセスを完成するに至っていないが、今後の研究に対して示唆に富むものである。

##### 4.1 線返し多層構造レジスト

プラズマ重合によれば多層構造レジストを作ることは容易である。著者等は Table 5 に示すとおり 7 種の 3 層繰返しあるいは 2 層繰返しレジストを試みた。電子線照射後 Table 6 に示すとおりプラズマエッチ条件で現像した。電子線照射の効果とプラズマエッチの効果は加算性から大きく外れエッチ速度自体が Fig. 11 の如く顕著なドーズ依存性を示した。構成層のレジスト特性の平均値と異なる、このような線返し多層レジストの特性

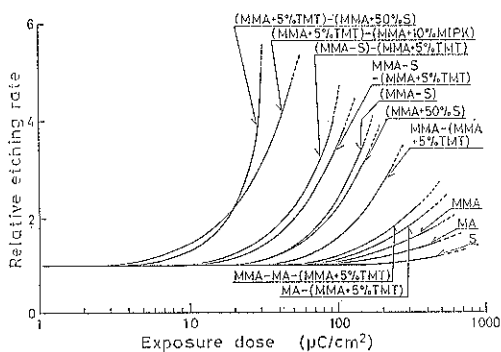


Fig. 11 Effect of plasma etching gas on the film properties. Etching gas; Ar + 40% O<sub>2</sub>.

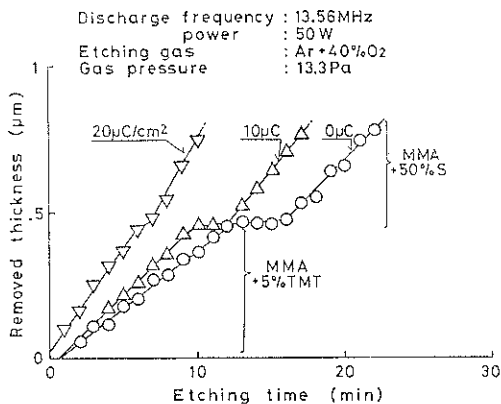


Fig. 12 Plasma etching progress of e-b exposed multilayer resist film including transition layer.

を理解するため、プラズマエッチによる膜減りの状況をくわしく調べた所、Fig. 12 に示すように構成層の間には極めて耐エッチ性の高い境界層が形成されて居り、しかも境界層は低ドーズの電子線照射によって消滅することがわかった。

##### 4.2 照射後グラフト反応

Fig. 1 の装置を用いれば、電子線照射後外気に曝すことなく分子蒸気中に基板を移すことができる。著者等は、プラズマ重合酢酸ビニールに電子線照射して後ステレン蒸気中に設置した所 Fig. 13 に示す如く照射部に膜厚の増加を観察した。この膜を酸素プラズマエッチすると Fig. 14 に示すようなネガ型のレジスト特性が得られた。50 μC/cm<sup>2</sup> の照射で約 10<sup>-5</sup> gy/cm<sup>2</sup> のグラフト増量がみられたわけであるから、照射された電子 1 個当たり 2 分子のステレンが捕獲されたことがわかる。

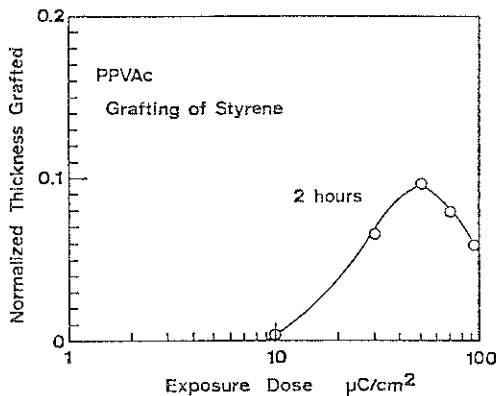


Fig. 13 Film thickness increase of plasma-polymerized vinylacrylate (PPVAc) by after e-b exposure grafting of styrene.

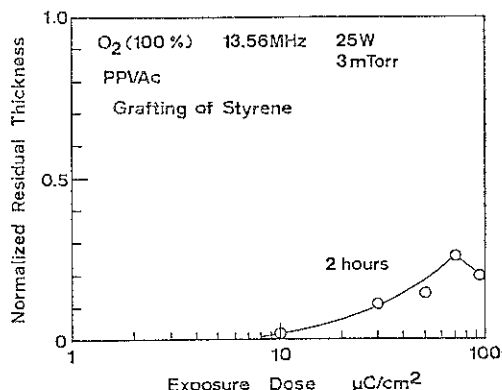


Fig. 14 Plasma development characteristics of plasma-polymerized vinylacrylate (PPVAc) grafted styrene after e-b exposme.

## 5. 今後のドライ現像リソグラフィー

### 5.1 ドライ現像レジストに関する考察

ポジ電子線あるいはX線レジストに対する溶液現像では、主鎖切断によって60モノマー程度の中分子量になったときに、高分子の分子運動が盛んになることによつて溶媒分子が高分子膜中に拡散し溶解速度が増加する。ポジホトレジストに於いては光化学反応によって高分子の溶媒に対する新和力を増し可溶化する。これに対し、ドライ現像が可能となるためには、最終的に数モノマーの低分子量まで切断を進行させる効果が必要である。

これまでの知見から、次のような効果はドライ現像ホトレジストあるいはドライ現像X線レジストの実現のために利用できることが推測される。i) スチレンのごとき耐エッチ性の高いモノマーについて、耐エッチ性には分子量依存性（高分子量で高耐エッチ性）がある。ii) 架橋の程度の増加も耐エッチ性を増す。iii) 超薄耐エッチ層は特異な高エネルギー照射感度を示す。iv) 中程度の分子量では溶媒のみでなく低分子気体の拡散も盛んになる。v) グラフト反応による2次的な性質の変化を利用する。vi) レジストに吸着された低分子の拡散除去も利用できる。

### 5.2 高感度X線レジストに関する考察

Fig. 15 は線源の広がり  $D$  にもとづく半影ボケ  $\Delta$  とギャップ変動  $dG$  にもとづく位置ずれ  $\epsilon$  とが、線源とマスクの距離  $L$ 、マスクとウエハのギャップ  $G$ 、照射領域寸法  $d$  とどのような関係にあるかを示す。これら等は

$$\Delta = D(G/L) \quad (10)$$

$$\epsilon = dG(L/d) \quad (11)$$

の関係で与えられる。 $\Delta$  を小さくするためには  $D$  を小さく  $L$  を大きくする必要があるが、 $D$  を小さくすると単位面積当たりの電子線入力が大きくなるので冷却能力にもとづく限界がある。対陰極を円錐状凹みとすることによって冷却面積を増したものが固定対陰極X線源としては最も輝度が高く、3mm $\phi$  に 4kW の電子線を照射することができた。

電子線入力  $P$  とX線束  $\Phi$  の関係は

$$\Phi = 30 \cdot 10^{-6} (P/L^2) \quad (12)$$

で与えられ、感度  $s$  と照射時間  $T$  とは

$$s = \Phi T \quad (13)$$

で結ばれる。これからスループット（秒/cm<sup>2</sup>）は

$$T/A_0 = (30 \cdot 10^{-6})^{-1} P^{-1} (L/d)^2 s \quad (14)$$

で与えられる。Table 7 にまとめたように、2mJ/cm<sup>2</sup> の感度のX線レジストがあれば 0.6 sec/cm<sup>2</sup> のスループットが得られ固定対陰極X線源で十分なスループットが

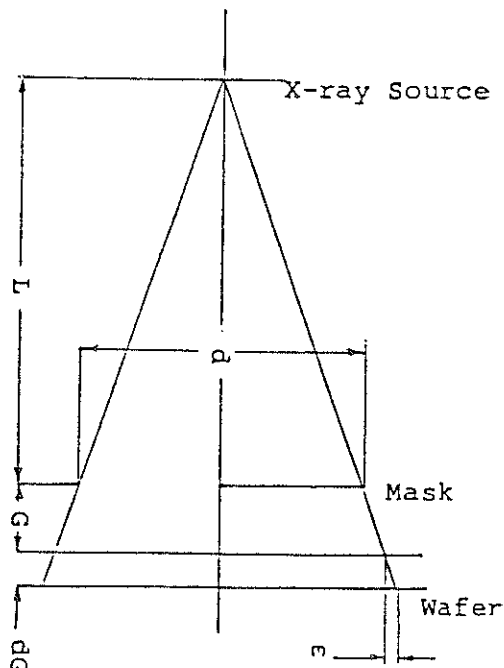
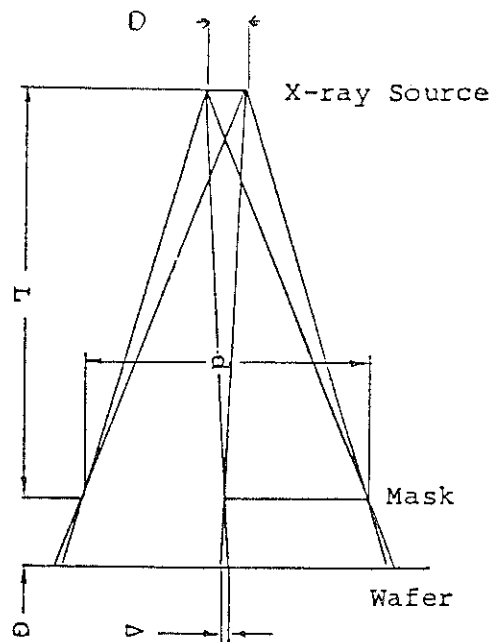


Fig. 15 Origin of diffuse exposure resolution limit  $\Delta$  and pattern shift  $\epsilon$  with proximity X-ray lithography.

得されることわかる。

Table 8 は現在知られているX線レジストの感度を示す。ネガレジストについては必要な感度に近いものがあ

**Table 7** Requirement for X-ray resist sensitivity.

|   |                                       |                               |
|---|---------------------------------------|-------------------------------|
| $\Delta = (GD)/L$   | $\phi = 30 \cdot 10^{-6} \cdot P/L^2$ | $s = \phi T$                  |
| $T/A_0 = T/nA = (30 \cdot 10^{-6})^{-1} P^{-1} (L/d)^2 s$ |                                       |                               |
| $\Delta$ : Nominal Resolution                             | $G$ : Proximity Gap                   |                               |
| $D$ : Effective Diameter of X-Ray Source                  |                                       |                               |
| $L$ : Distance from Source to Mask                        |                                       |                               |
| $s$ : Sensitivity   | $\phi$ : X-Ray Flux                   |                               |
| $P$ : Electron Beam Power                                 |                                       |                               |
| $n$ : Number of Steps                                     | $A$ : Area of Exposure                |                               |
| $A_0$ : Area of Wafer                                     |                                       |                               |
| $T$ : Total Exposure Time                                 |                                       |                               |
| $(L/d) = 6$   | $P = 4 \text{ kW}$                    | $s = 2 \text{ mJ/cm}^2$       |
|   |                                       | $T/nA = 0.6 \text{ sec/cm}^2$ |

**Table 9** High sensitivity X-ray resist design.

|  |                            |   |
|--|----------------------------|---|
| High Sensitivity E-Beam Resist         |                            |   |
| $Q_e = (A/M)d\lambda_e q/(j_{ev}V_e)$  | Scission/eV                |   |
| $A = 6 \cdot 10^{23}$                  | $M = 100$                  | $d = 10^{-4}$                                   |
| $q = 1.6 \times 10^{-19}$              | $j_{ev} = 5 \cdot 10^{-6}$ | $\lambda_e = 0.15$                              |
| $Q_e = 0.14$                           | $V_e = 2 \cdot 10^4$       |   |
| High Sensitivity X-Ray Resist          |                            |   |
| $Q_x = (A/M)d'\lambda_m q/(J_{xm}V_x)$ | $a = 2$                    |   |
| $Q_x = a \cdot Q_e$                    |                            | $\lambda_m = 0.015$                             |
| $(J_{xm}V_x) = (A/M)d'\lambda_m q/Q_x$ |                            | $d' = 4 \times 10^{-4}$                         |
|  |                            | $(J_{xm}V_x) = 2 \times 10^{-3} \text{ J/cm}^2$ |

**Table 8** Sensitivity and  $\gamma$  value of typical negative-working and positive-working X-ray resist.

| negative working | $n(\text{dl/g})$ | sensitivity ( $\text{mJ/cm}^2$ ) |           |       | $\gamma$ | positive working | sensitivity ( $\text{mJ/cm}^2$ ) |           | $\gamma$ |
|------------------|------------------|----------------------------------|-----------|-------|----------|------------------|----------------------------------|-----------|----------|
|                  |                  | $s^0$                            | $s^{0.5}$ | $s^0$ |          |                  | $s^0$                            | $s^{0.5}$ |          |
| COP              | 0.45             | 59                               | 185       | 1.0   |          | PMMA             | 2500                             | 2         |          |
| DCPA             | 1.85             | 3.5                              | 8.4       | 1.3   |          | FBM              | 53                               | 2.5       |          |

るが、ポジレジストについては25倍ほどの感度の増加が必要である。又この値は溶液現像についてのものであるからドライ現像によって $2 \text{ mJ/cm}^2$ の感度を実現するには、さらに10倍ほどの感度の増加を必要とする。しかしながら前節の考察はドライ現像でも溶液現像と同じ程度の分子量低下によって現像完了に至るプロセスを考えうる可能性を示している。又25倍の感度の増加の大部分は、電子線レジストの場合と同様重原子による増感によって達成できうるものと考えられる。**Table 9**はこのような考え方でのX線レジスト設計の方針をまとめたものである。

## 6. おわりに

本稿では著者の研究室に於ける知見以外の知見を十分

紹介することができなかったが、今後の研究に関する考察には他の研究が参考にされている。又文献を引用する煩雑を避けた。以下の解説中の文献表を参考にされたい。

- 「超 LSI 時代のプラズマ化学」4章、8章、(工業調査会・1983年)
- 「プラズマ反応を応用した新材料創生技術の展開の可能性に関する調査」(未来工学研究所 1983年)  
(科学技術振興調整費による)
- 堀勝・服部秀三・森田眞三・谷橋慎太郎「プラズマ重合メタクリル酸メチル重合機構とレジスト特性評価」(日化誌 No. 10, 1984)